

LIG: TM127

**Valles estructurales y relieve conforme de la S^a
de Altomira. Hoz del Tajo en Bolarque CU - GU**

Este documento contiene:

- **Figuras y Fotos relativas al LIG**

ÍNDICE DE FIGURAS O FOTOS

Figura o Foto 1: Mapa topográfico con la delimitación del LIG.	4
Figura o Foto 2: Mapa de relieves sombreados con la delimitación del LIG.	5
Figura o Foto 3: Corte Geológico (Oeste-Este) transversal a la Sierra de Altomira en la zona LIG (adaptado de Díaz de Neira, J.A.; Cabra Gil, P.; Portero García, J.M. y Del Olmo Zamora, P. (1991)).	6
Figura o Foto 4: Montaje en perspectiva donde se aprecia una antiforma y sinforma conforme y colgadas, junto a la presa de Buendía, dando forma a un valle estructural. Elaboración propia.	6
Figura o Foto 5: Aspecto de campo de la antiforma anticlinal antes mencionada.	7
Figura o Foto 6: Otra perspectiva de la misma antiforma anticlinal antes mencionada.	7
Figura o Foto 7: Montaje en perspectiva. Embalse de Buendía y a la derecha del mismo anticlinal antiforma y sinclinal sinforma que muestran un relieve conforme, un valle colgado y cuevas en todos los flancos. Elaboración propia.	8
Figura o Foto 8: Montaje en perspectiva. La cuerda de la Sierra de Enmedio coincide <i>grosso modo</i> con el eje del pliegue. Elaboración propia.	8
Figura o Foto 9: Charnela de la antiforma de la Sierra de Enmedio mencionada en la foto anterior (Figura o Foto 8).	9
Figura o Foto 10: Montaje en perspectiva. Valle de la Pinada (valle estructural conforme y colgado). Elaboración propia.	9
Figura o Foto 11: El mismo Valle de la Pinada (valle estructural conforme y colgado) antes mencionado.	10
Figura o Foto 12: Montaje en perspectiva. Elaboración propia.	10
Figura o Foto 13: Montaje en perspectiva. Elaboración propia.	11
Figura o Foto 14: Montaje en perspectiva. Vista desde el Norte hacia el Sur. Elaboración propia.	11
Figura o Foto 15: Montaje donde se aprecia el paraje del Desierto de Bolarque. Junto al río, en la zona central se observa el Convento. Elaboración propia.	12
Figura o Foto 16: Junto al río Tajo, ruinas del “Desierto de Bolarque”	12
Figura o Foto 17: Zona fracturada que da lugar a la ciudad encantada y junto a ella la superficie de despegue de un deslizamiento relativamente antiguo. Elaboración propia.	13
Figura o Foto 18: Ciudad encantada mencionada en la Figura o Foto 17. Obsérvese la fuerte pendiente 13	13
Figura o Foto 19: Ciudad encantada mencionada en la Figura o Foto 17.	14
Figura o Foto 20: Ciudad encantada mencionada en la Figura o Foto 17 y superficie de despegue de un antiguo deslizamiento.	14
Figura o Foto 21: Detalle de la superficie de despegue de un deslizamiento relativamente antiguo mencionada en la Figura o Foto 17.	15
Figura o Foto 22: Pináculo próximo a la ciudad encantada.	15
Figura o Foto 23: Antiforma junto al Río Guadiela (Embalse de Bolarque aguas debajo de la Ermita Ntra. Sra. de los Desamparados).	16
Figura o Foto 24: Antiforma junto al Río Guadiela (Embalse de Bolarque justo encima de la Ermita Ntra. Sra. de los Desamparados).	16
Figura o Foto 25: Paraje de la Ermita Ntra. Sra. de los Desamparados.	17
Figura o Foto 26: Sinforma colgada en el centro de la imagen.	17

Figura o Foto 27: Otra sinforma colgada.....	18
Figura o Foto 28: Zona de cuchilleras próximo al Castillo de Anguix.....	18
Figura o Foto 29: Pliegue (probablemente de propagación de falla) fracturado, en la Ermita de San Lorenzo.	19
Figura o Foto 30: Paraje denominado “El Fin del Mundo” en el Río Jabalera.....	19
Figura o Foto 31: Meandro del río Guadiela junto a la Ermita Ntra. Sra. de los Desamparados.....	20
Figura o Foto 32: Presa de Buendía y valle estructural del Guadiela (a la derecha).....	20
Figura o Foto 33: Junto a la presa de Bolarque (no visible) captación del trasvase Tajo-Segura. Arriba, torre de bombeo. A la derecha, de forma difusa se aprecia la Cuenca de Madrid.....	21
Figura o Foto 34: Formas caprichosas (en herradura) por erosión de un flanco de pliegue.....	21
Figura o Foto 35: Cuchillera (flanco anticlinal) al inicio del recorrido del río Guadiela en la Sierra de Altomira.	22
Figura o Foto 36: Exterior de la Ermita Ntra. Sra. de los Desamparados.....	22
Figura o Foto 37: Cartel indicativo de la Ermita.....	23
Figura o Foto 38: Cartel indicativo del uso de las inmediaciones de la Ermita Ntra. Sra. de los Desamparados.	23
Figura o Foto 39: Cartel indicativo en las inmediaciones de la Ermita Ntra. Sra. de los Desamparados.....	24
Figura o Foto 40: Cartel del Pontón.....	24
Figura o Foto 41: El Pontón.....	25
Figura o Foto 42: Interpretación tectónica de la zona por parte de Muñoz Martín, A. (1997).	26
Figura o Foto 43: Interpretación tectónica de otro sector de la zona por parte de Muñoz Martín, A. (1997). 27	
Figura o Foto 44: Figura autoexplicativa tomada de Carcavilla, L. y Vegas, J. (2014).	28
Figura o Foto 45: Figura autoexplicativa tomada de Carcavilla, L. y Vegas, J. (2014).	29
Figura o Foto 46: Figura autoexplicativa tomada de Carcavilla, L. y Vegas, J. (2014).	30
Figura o Foto 47: Figura autoexplicativa tomada de Carcavilla, L. y Vegas, J. (2014).	31
Figura o Foto 48: Figura autoexplicativa tomada de Carcavilla, L. y Vegas, J. (2014).	32
Figura o Foto 49: Figura autoexplicativa tomada de Carcavilla, L. y Vegas, J. (2014).	33

**TM127 - Valles estructurales y relieve conforme de la Sª de Altomira.
Hoz del Tajo y Guadiela en Bolarque (delimitación en azul)**
Sobre Mapa Topográfico (Año 2016), escala original 1:25000
«© Instituto Geográfico Nacional de España»



Figura o Foto 1: Mapa topográfico con la delimitación del LIG.

**TM127 - Valles estructurales y relieve conforme de la S^a de Altomira.
Hoz del Tajo y Guadiela en Bolarque (delimitación en azul)**
Sobre Mapa de Relieve Sombreados a partir del MDT
«LiDAR-PNOA cedido por © Instituto Geográfico Nacional de España»

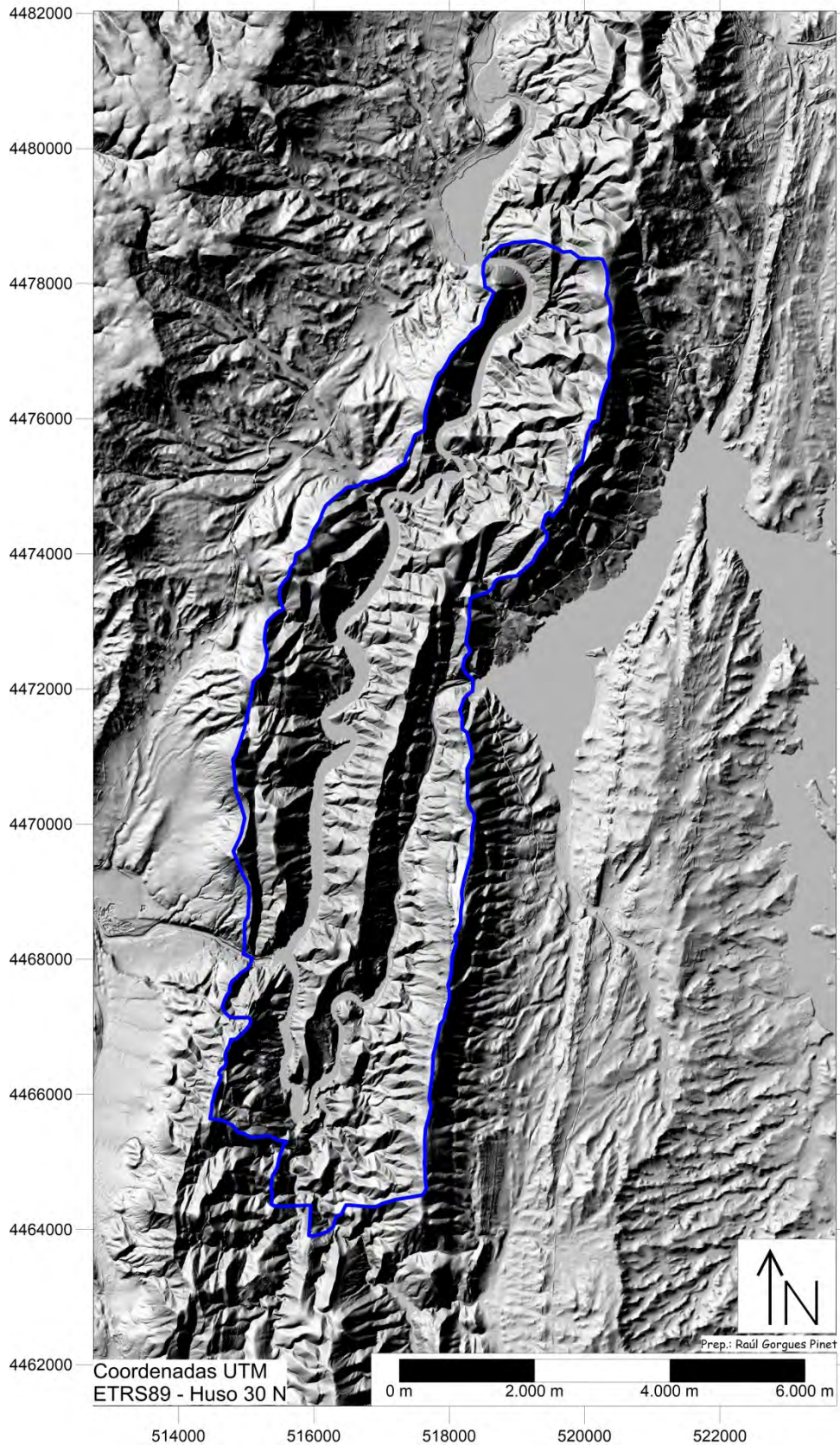


Figura o Foto 2: Mapa de relieves sombreados con la delimitación del LIG.

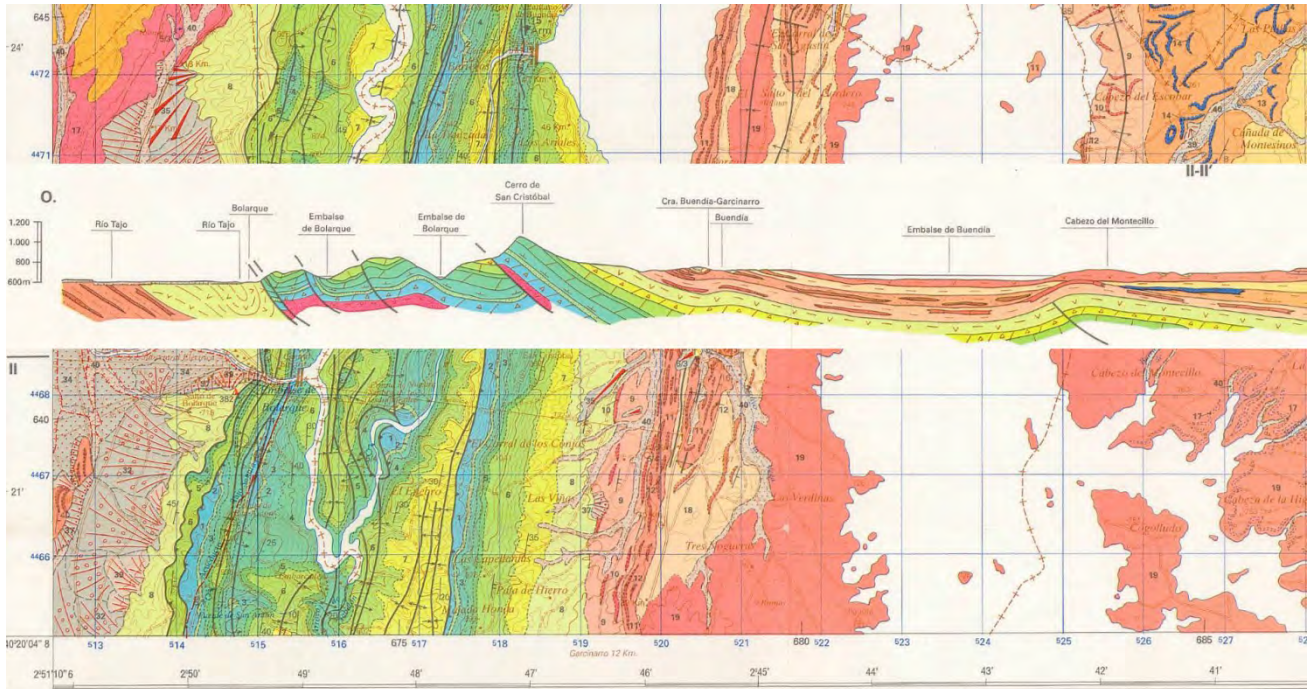


Figura o Foto 3: Corte Geológico (Oeste-Este) transversal a la Sierra de Altomira en la zona LIG (adaptado de Díaz de Neira, J.A.; Cabra Gil, P.; Portero García, J.M. y Del Olmo Zamora, P. (1991)).



Figura o Foto 4: Montaje en perspectiva donde se aprecia una antiforma y sinforma conforme y colgadas, junto a la presa de Buendía, dando forma a un valle estructural. Elaboración propia.



Figura o Foto 5: Aspecto de campo de la antiforma anticlinal antes mencionada.



Figura o Foto 6: Otra perspectiva de la misma antiforma anticlinal antes mencionada.



Figura o Foto 7: Montaje en perspectiva. Embalse de Buendía y a la derecha del mismo anticlinal antiformal y sinclinal sinformal que muestran un relieve conforme, un valle colgado y cuestas en todos los flancos. Elaboración propia.



Figura o Foto 8: Montaje en perspectiva. La cuerda de la Sierra de Enmedio coincide *grosso modo* con el eje del pliegue. Elaboración propia.



Figura o Foto 9: Charnela de la antifoma de la Sierra de Enmedio mencionada en la foto anterior (Figura o Foto 8).



Figura o Foto 10: Montaje en perspectiva. Valle de la Pinada (valle estructural conforme y colgado). Elaboración propia.



Figura o Foto 11: El mismo Valle de la Pinada (valle estructural conforme y colgado) antes mencionado.



Figura o Foto 12: Montaje en perspectiva. Elaboración propia.



Figura o Foto 13: Montaje en perspectiva. Elaboración propia.



Figura o Foto 14: Montaje en perspectiva. Vista desde el Norte hacia el Sur. Elaboración propia.



Figura o Foto 15: Montaje donde se aprecia el paraje del Desierto de Bolarque. Junto al río, en la zona central se observa el Convento. Elaboración propia.



Figura o Foto 16: Junto al río Tajo, ruinas del "Desierto de Bolarque".



Figura o Foto 17: Zona fracturada que da lugar a la ciudad encantada y junto a ella la superficie de despegue de un deslizamiento relativamente antiguo. Elaboración propia.



Figura o Foto 18: Ciudad encantada mencionada en la Figura o Foto 17. Obsérvese la fuerte pendiente



Figura o Foto 19: Ciudad encantada mencionada en la Figura o Foto 17.



Figura o Foto 20: Ciudad encantada mencionada en la Figura o Foto 17 y superficie de despegue de un antiguo deslizamiento.



Figura o Foto 21: Detalle de la superficie de despegue de un deslizamiento relativamente antiguo mencionada en la Figura o Foto 17.



Figura o Foto 22: Pináculo próximo a la ciudad encantada.



Figura o Foto 23: Antiforma junto al Río Guadiela (Embalse de Bolarque aguas debajo de la Ermita Ntra. Sra. de los Desamparados).



Figura o Foto 24: Antiforma junto al Río Guadiela (Embalse de Bolarque justo encima de la Ermita Ntra. Sra. de los Desamparados).



Figura o Foto 25: Paraje de la Ermita Ntra. Sra. de los Desamparados.



Figura o Foto 26: Sinforma colgada en el centro de la imagen.



Figura o Foto 27: Otra sinforma colgada.



Figura o Foto 28: Zona de cuchilleras próximo al Castillo de Anguix.



Figura o Foto 29: Pliegue (probablemente de propagación de falla) fracturado, en la Ermita de San Lorenzo.



Figura o Foto 30: Paraje denominado "El Fin del Mundo" en el Río Jabalera.



Figura o Foto 31: Meandro del río Guadiela junto a la Ermita Ntra. Sra. de los Desamparados.



Figura o Foto 32: Presa de Buendía y valle estructural del Guadiela (a la derecha).



Figura o Foto 33: Junto a la presa de Bolarque (no visible) captación del trasvase Tajo-Segura. Arriba, torre de bombeo. A la derecha, de forma difusa se aprecia la Cuenca de Madrid.



Figura o Foto 34: Formas caprichosas (en herradura) por erosión de un flanco de pliegue.



Figura o Foto 35: Cuchillera (flanco anticlinal) al inicio del recorrido del río Guadiela en la Sierra de Altomira.



Figura o Foto 36: Exterior de la Ermita Ntra. Sra. de los Desamparados.



Figura o Foto 37: Cartel indicativo de la Ermita.



Figura o Foto 38: Cartel indicativo del uso de las inmediaciones de la Ermita Ntra. Sra. de los Desamparados.



Figura o Foto 39: Cartel indicativo en las inmediaciones de la Ermita Ntra. Sra. de los Desamparados.



Figura o Foto 40: Cartel del Pontón.



Figura o Foto 41: El Pontón.

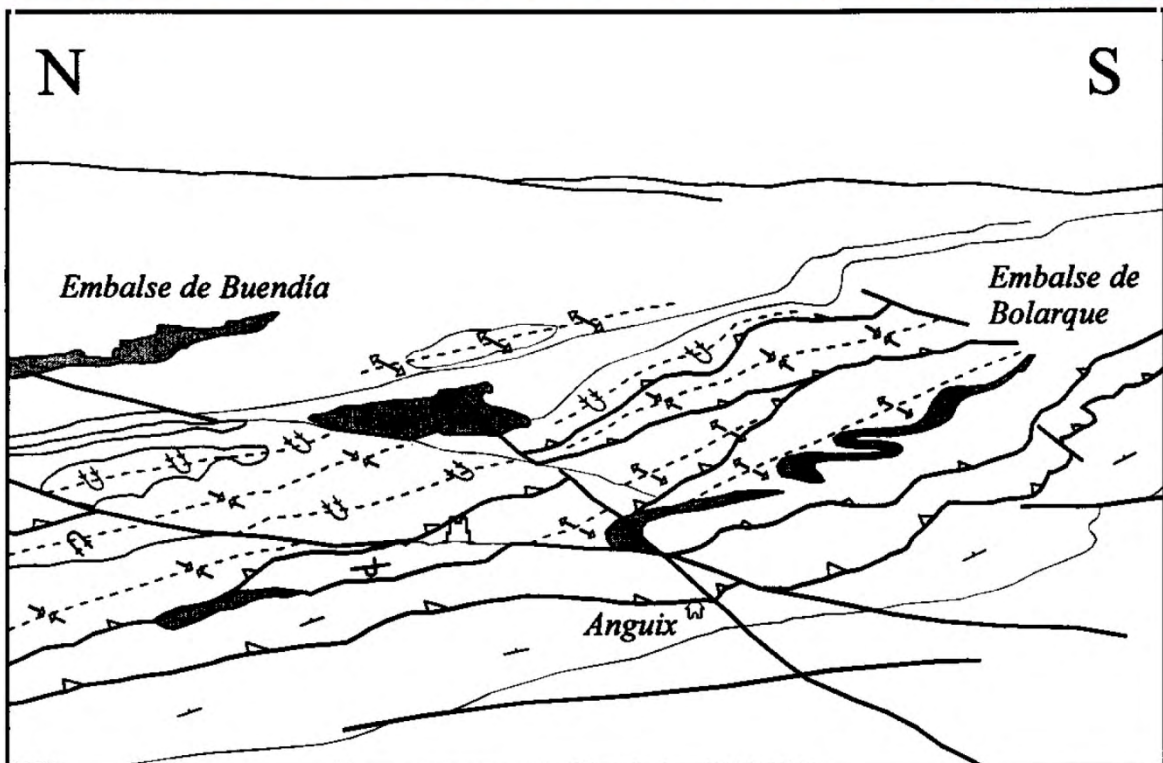


Foto 4.2.4: Vista aérea oblicua de la zona de transferencia de Anguix desde la cuenca de Madrid.

Tomado de : Muñoz Martín, A. 1997. Evolución Geodinámica del borde oriental de la cuenca del Tajo desde el Oligoceno hasta la actualidad. Tesis Doctoral. Univ. Complutense Madrid: 500 pp. (Páginas 114-115)

Figura o Foto 42: Interpretación tectónica de la zona por parte de Muñoz Martín, A. (1997).

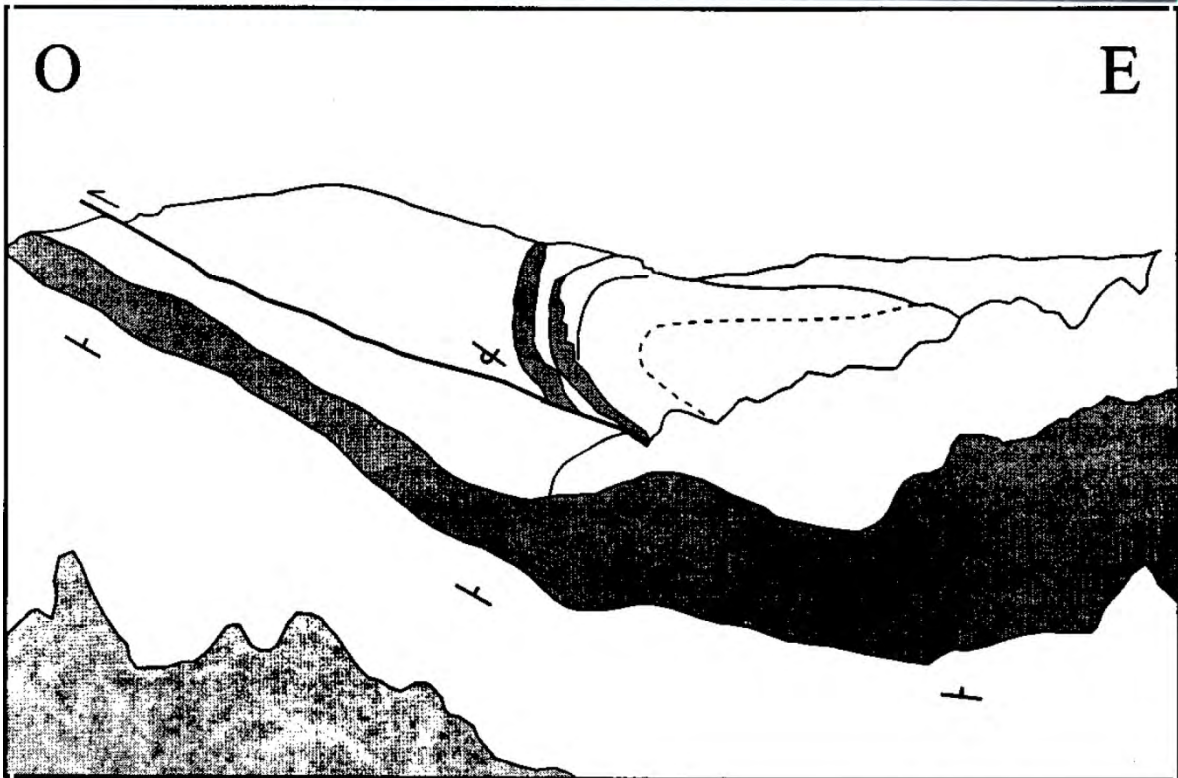
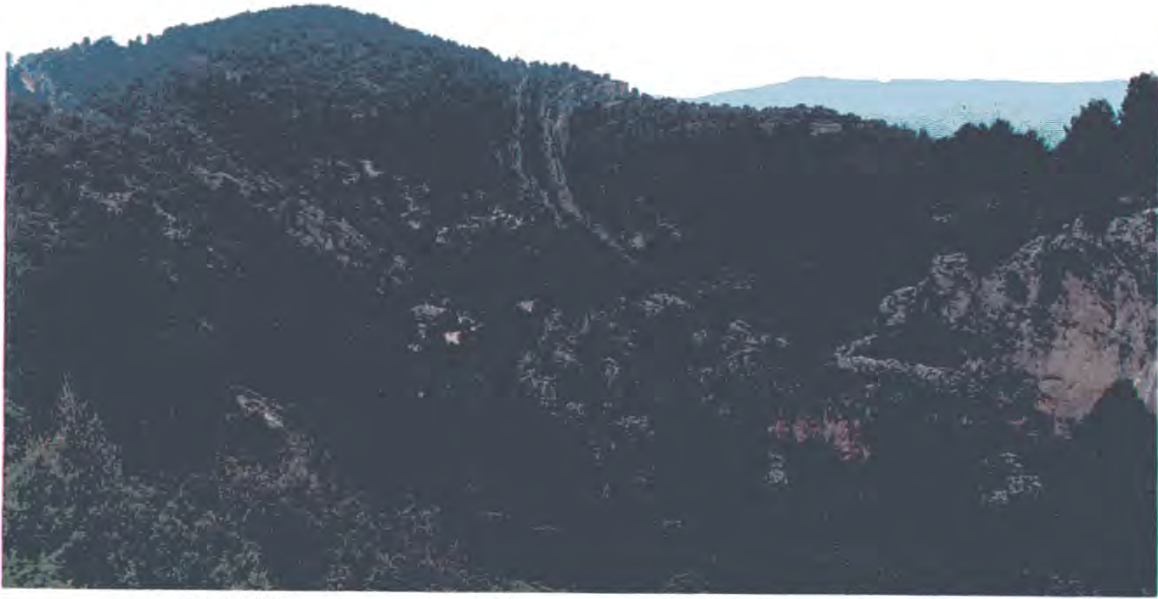


Foto 4.2.5: Aspecto general de los sistemas de pliegues y cabalgamientos imbricados de dirección N-S en el tramo de Buendía (proximidades de la urbanización Nueva Sierra de Madrid).

Tomado de: Muñoz Martín, A. 1997. Evolución Geodinámica del borde oriental de la cuenca del Tajo desde el Oligoceno hasta la actualidad. Tesis Doctoral. Univ. Complutense Madrid: 500 pp. (Páginas 114-115)

Figura o Foto 43: Interpretación tectónica de otro sector de la zona por parte de Muñoz Martín, A. (1997).

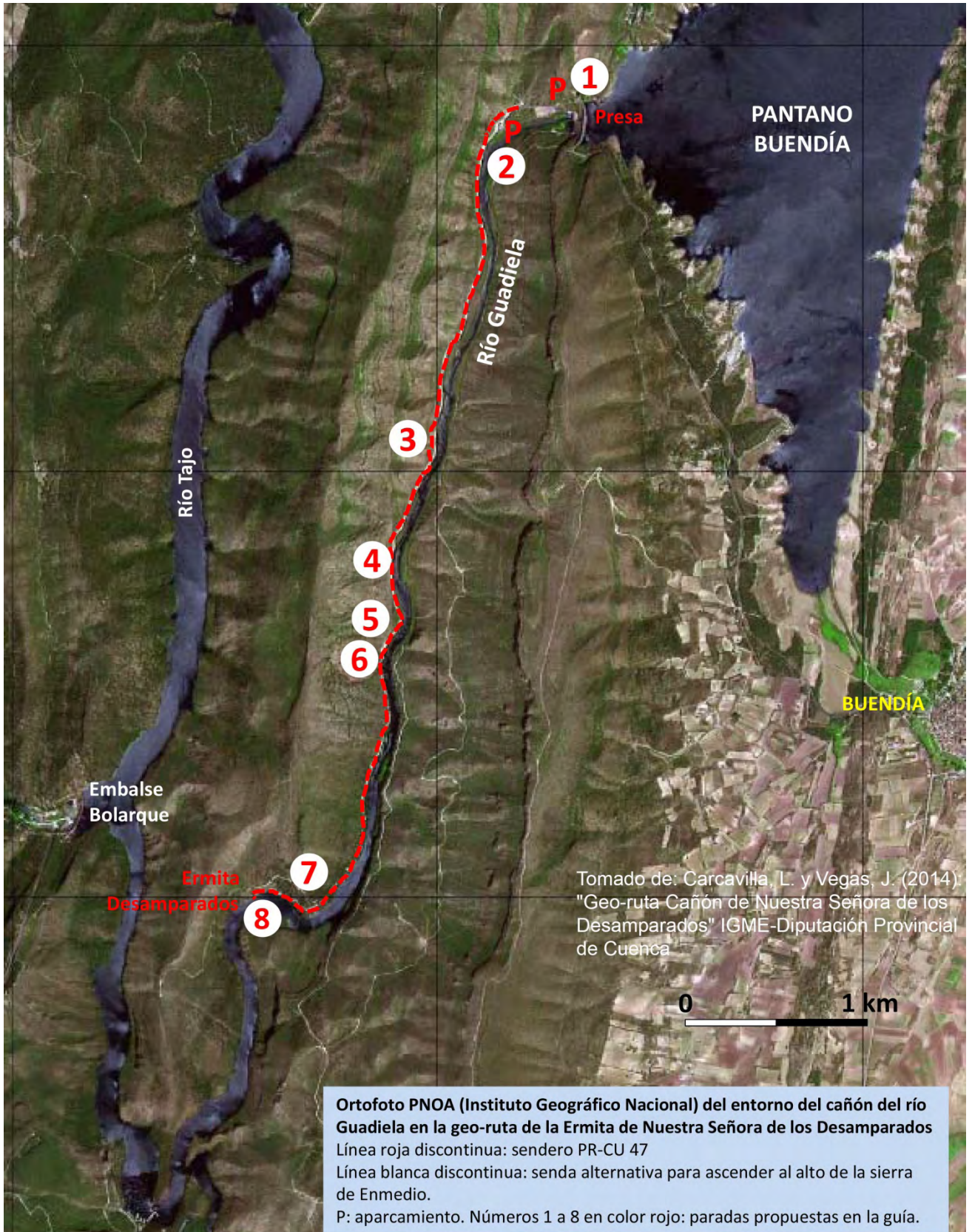


Figura o Foto 44: Figura autoexplicativa tomada de Carcavilla, L. y Vegas, J. (2014).

Vista hacia el Sur desde el muro de la presa de Buendía. En este punto se aprecia como la disposición de los estratos o capas inclinadas de las rocas originan una muralla natural que favorece el cierre del embalse en este punto del cañón del río Guadiela.



Tomado de: Carcavilla, L. y Vegas, J. (2014): "Geo-ruta Cañón de Nuestra Señora de los Desamparados" IGME-Diputación Provincial de Cuenca

Figura o Foto 45: Figura autoexplicativa tomada de Carcavilla, L. y Vegas, J. (2014).



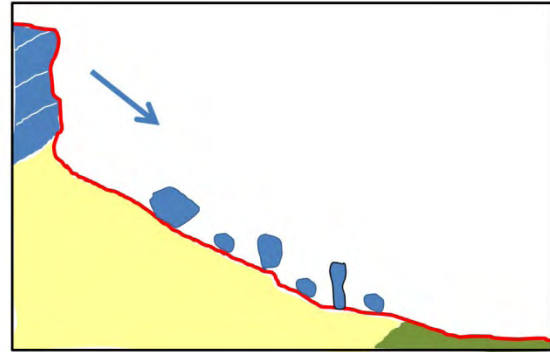
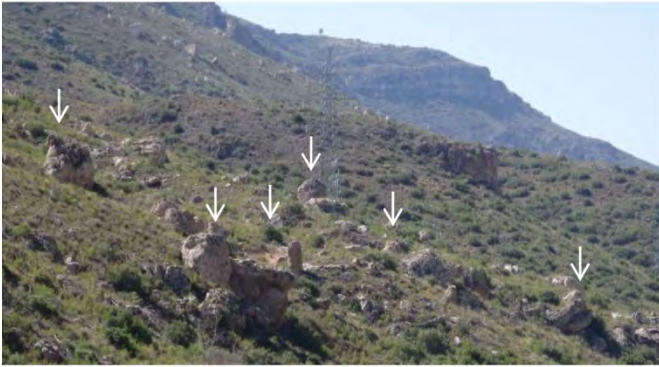
Vista de la parada 2 desde el muro de la presa.



Detalle de los estratos de roca en posición vertical del flanco del sinclinal que se muestra en el esquema en el recuadro de color rojo.

Tomado de: Carcavilla, L. y Vegas, J. (2014): "Geo-ruta Cañón de Nuestra Señora de los Desamparados" IGME-Diputación Provincial de Cuenca

Figura o Foto 46: Figura autoexplicativa tomada de Carcavilla, L. y Vegas, J. (2014).



La línea blanca discontinua marca el sector donde se localizan los bloques originados por el desprendimiento del escarpe superior del cañón.

Tomado de: Carcavilla, L. y Vegas, J. (2014): "Geo-ruta Cañón de Nuestra Señora de los Desamparados" IGME-Diputación Provincial de Cuenca

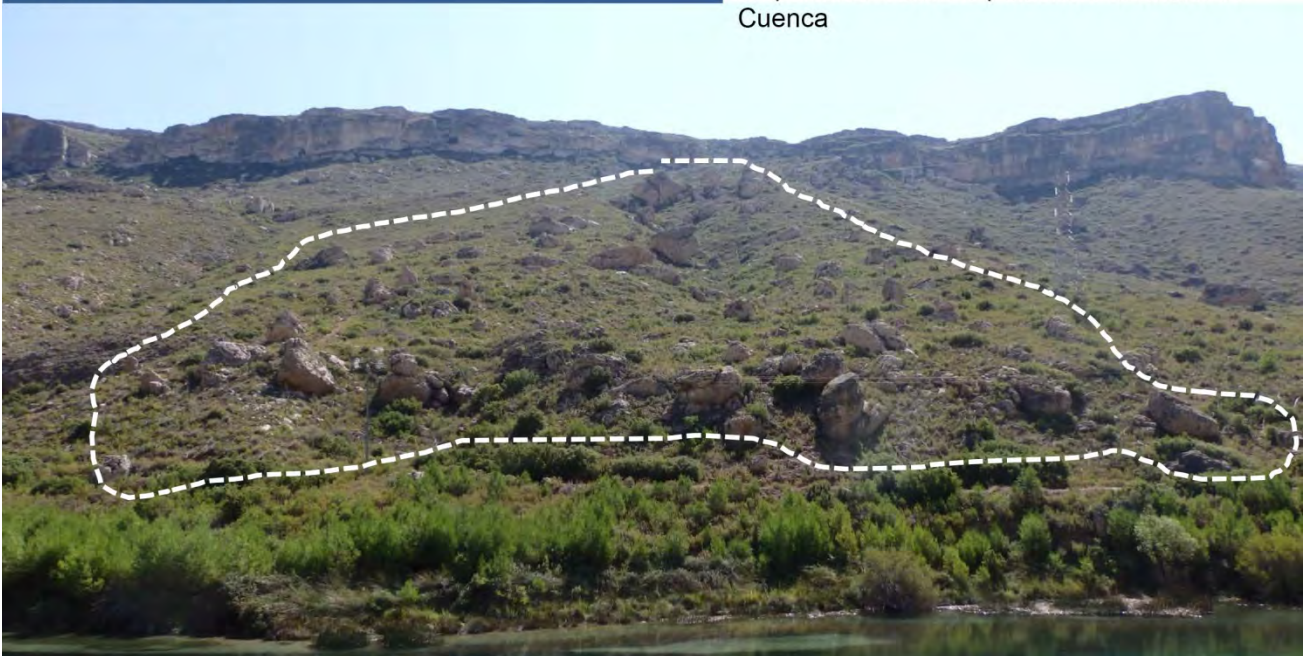
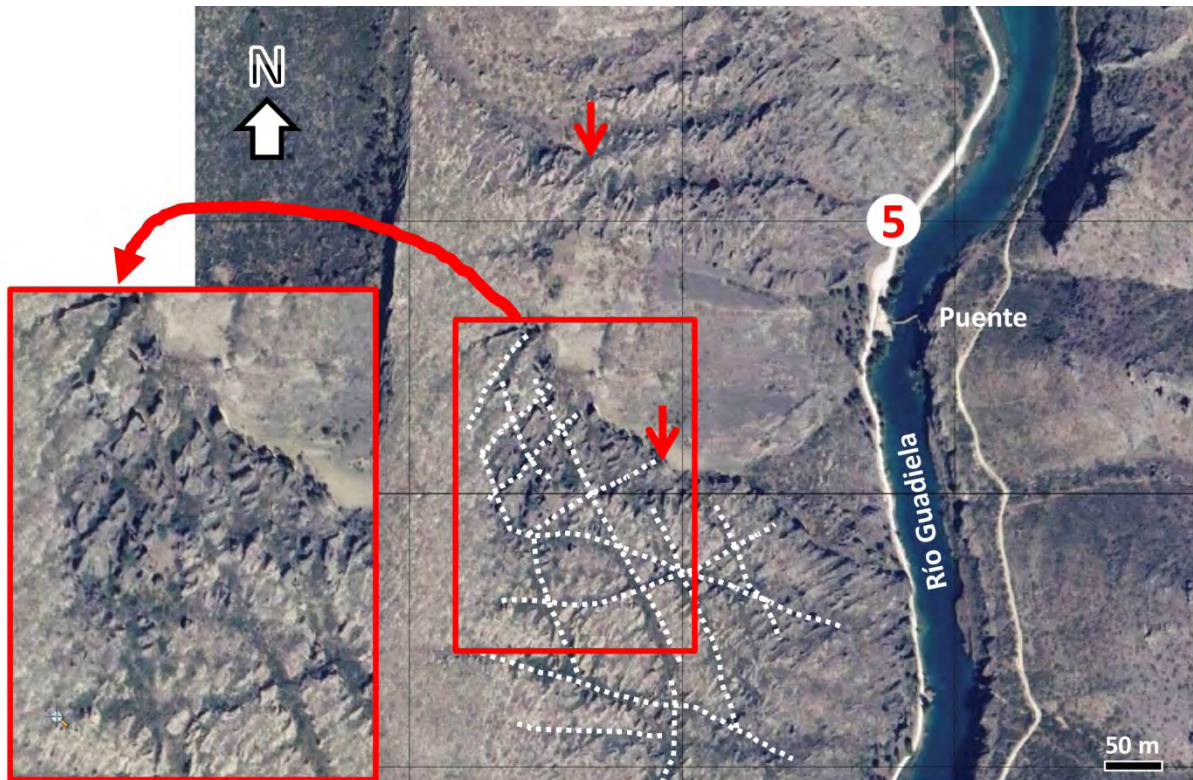
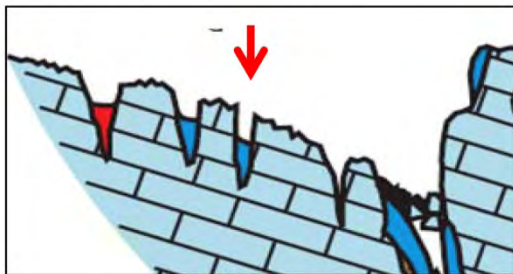


Figura o Foto 47: Figura autoexplicativa tomada de Carcavilla, L. y Vegas, J. (2014).



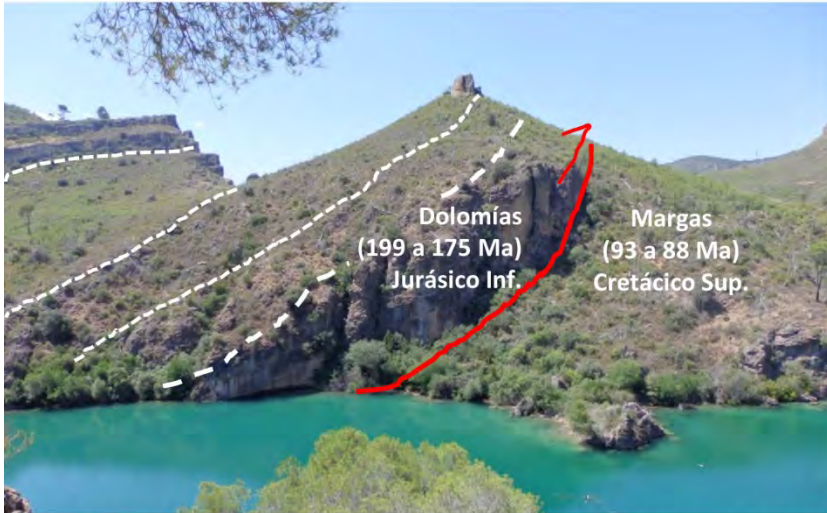
Detalle de la ortofoto PNOA de la parada 5. Las líneas blancas discontinuas muestran la disposición ortogonal de las diaclasas de las dolomías a partir de las cuales se han formado los callejones (flechas rojas) por procesos kársticos. El recuadro rojo muestra una ampliación donde se puede ver cómo la vegetación coloniza los fondos .



La mayor diferencia con la Ciudad Encantada de Cuenca es que allí las capas de dolomías están en horizontal, mientras que en el cañón del Guadiela los estratos están inclinados al ser parte del flanco de un pliegue. Este hecho hace que los callejones aquí estén inclinados y sean de más difícil acceso.

Tomado de: Carcavilla, L. y Vegas, J. (2014): "Geo-ruta Cañón de Nuestra Señora de los Desamparados" IGME-Diputación Provincial de Cuenca

Figura o Foto 48: Figura autoexplicativa tomada de Carcavilla, L. y Vegas, J. (2014).



En este punto del recorrido es donde mejor se divisa el cabalgamiento que pone las rocas más antiguas por encima de otras más modernas. Para una mejor interpretación vuelve al corte geológico de la página 4.

Vista del frente del cañón del Guadiela desde la parada 7.

Tomado de: Carcavilla, L. y Vegas, J. (2014): "Geo-ruta Cañón de Nuestra Señora de los Desamparados" IGME-Diputación Provincial de Cuenca

Figura o Foto 49: Figura autoexplicativa tomada de Carcavilla, L. y Vegas, J. (2014).